

## 非定常計算による上流ハイドログラフの推定方法について

京都大学工学部	正員	岩佐 義朗
京都大学工学部	正員	井上 和也
熊谷組	正員	栗林 東一
京都大学大学院	学生員	太田 正規

## 1. はじめに

通常の非定常計算では、境界条件を与える、初期状態を設定したのち、ハイドログラフの時間的および距離的な上流から下流への変形を求めるものが多い。ここではこれらと異なり、下流に現われたハイドログラフが、上流のどのようないかのハイドログラフによってもたらされたかを推定する方法について述べる。この問題は通常の問題と比べ、(i) 下流端で  $H_t$ ,  $Q \sim t$  の2つが既知として与えられる、(ii) 上流端の境界条件はない、の点で異なっており  $x$  と  $t$  を入れ替えると、双曲型偏微分方程式の初期値問題に帰着される。

## 2. 基礎方程式とその特性曲線法による差分式

基礎方程式は、通常の一次元エネルギー解析法と同様、つきの式で与えられる。

$$\text{連続式 } \frac{\partial A}{\partial t} + \frac{\partial Q}{\partial x} = 0 \quad \dots (1), \quad \text{エネルギー式 } \frac{\beta}{g} \frac{\partial V}{\partial t} + \frac{\partial H_t}{\partial x} = -S_f \quad \dots (2)$$

ただし、 $H_t = H + \alpha V^2/2g$  (全水頭,  $H$ : 水位),  $S_f = m^2 V^2/R^{1/2}$  である。流れを常流とし、(1), (2)式を特性曲線に沿う表示に改めたのち、図1を参照して特性曲線の方向に応じた差分をとれば

$$\text{上流から下流へ向う特性曲線 } \zeta_+ \quad ((\partial V/\partial t)_+ = (\alpha+\beta)V/2\beta + C_0, \quad C_0 = \sqrt{gA/\beta B}) \rightarrow \text{右へ}$$

$$\frac{1}{B_j^n} \left( \frac{A_{j+1}^m - A_j^m}{\Delta t} + \frac{Q_{j+1}^m - Q_j^m}{\Delta x_j} - \frac{g_{j+1}^m + g_j^m}{Z} \right) + \left( \frac{\alpha-\beta}{2\beta} V + C_0 \right)_j^n \left( \frac{\beta}{g} \frac{V_{j+1}^m - V_j^m}{\Delta t} + \frac{H_{t+1}^m - H_t^m}{\Delta x_j} + \frac{S_{f+1}^m + S_f^m}{Z} \right) = 0 \quad \dots (3)$$

$$\text{下流から上流へ向う特性曲線 } \zeta_- \quad ((\partial V/\partial t)_- = (\alpha+\beta)V/2\beta - C_0) \rightarrow \text{左へ}$$

$$\frac{1}{B_j^n} \left( \frac{A_{j+1}^m - A_j^m}{\Delta t} + \frac{Q_{j+1}^m - Q_j^m}{\Delta x_j} - \frac{g_{j+1}^m + g_j^m}{Z} \right) + \left( \frac{\alpha-\beta}{2\beta} V - C_0 \right)_j^n \left( \frac{\beta}{g} \frac{V_{j+1}^m - V_j^m}{\Delta t} + \frac{H_{t+1}^m - H_t^m}{\Delta x_j} + \frac{S_{f+1}^m + S_f^m}{Z} \right) = 0 \quad \dots (4)$$

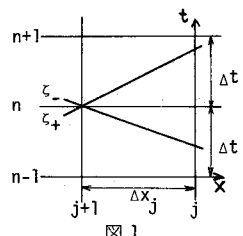
の2式が得られる。ここで非齊次項を

$$\frac{g_{j+1}^m + g_j^m}{Z}, \quad \dots (5), \quad \frac{S_{f+1}^m + S_f^m}{Z} \quad \dots (6)$$

としたのは、定常流計算との整合性を図るためにである。つまり定常流では、 $\partial/\partial t = 0$  であり (3), (4)式より

$$Q_j^m = Q_{j+1}^m + \frac{g_{j+1}^m + g_j^m}{Z} \Delta x_j \quad \dots (7), \quad H_{t+1}^m = H_t^m - \frac{S_{f+1}^m + S_f^m}{Z} \Delta x_j \quad \dots (8)$$

が得られ、これは不等流計算の標準逐次計算法にはつかならない。(3), (4)式において未知量は添字( $j+1$ )についてものである。 $t$ にだして  $\zeta$  は一般に  $x$  と  $t$  の関数で与えられており既知量としてよい。(3), (4)式を連立的に解けば、 $Q_{j+1}$  は直ちに求まるが、 $H_{j+1}$ ,  $S_{f+1}$  については



繰り返し計算法、すなはち不等流計算における標準逐次法と同様の方法をとらなければならぬ。またこのような計算の CFL 条件は、 $\Delta t > \Delta x / |U \pm C_0|$  である。

### 3. 数値計算例

淀川の 6524 号水において、この(3), (4)式に基づく計算法（以下、ここではこの方法を逆上計算法と呼ぶ）を試みた。対象区間として図2に示すように、枚方、模尾山、加茂、納所を境界とする区間をとり、それぞれに境界条件として  $H \sim t$  を与え、まず通常の非定常計算を行なった。そのうち、下流域として淀を選び非定常計算の結果として得られた。

$H \sim t$ ,  $Q \sim t$  を新たに逆上計算のための下流端条件として宇治川に沿って逆上させた。この計算結果を、模尾山地図などにおいて、すでに非定常計算で得られていく  $H \sim t$  や  $Q \sim t$  と一致するかどうかを検討した。図3は淀での  $H \sim t$ ,  $Q \sim t$  であり、図4、図5は逆上計算値と非定常計算値とを、隠元橋、模尾山で比較したものである。水位、流量とも若干の不一致がみられるが、ピーク値ならびにピーク出現时刻においては、ほぼ満足な結果が得られ、この逆上計算法は上流のハイドログラフを推定する場合に、有効な手法であるといえる。なお計算時間は、9月17日15時から18日15時までの24時間とし、各種の資料は文献によった。

### 4. 考察

上述のような、ハイドログラフの逆上計算を除く他の方法としては、上流域のハイドログラフを数多く想定し、試行錯誤的に計算を行なう方

法が考えられるが、労力が大きく有効的な手法ではない。この逆上計算法は、このような点を改めたものであり、ダム下流における洪水制御問題や水面こう配を無視しない貯水池における流入ハイドログラフの推定問題などにも応用しうるものと考えている。

#### 1). 6524 号水の解析：近畿地方建設局

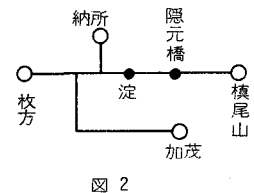


図 2

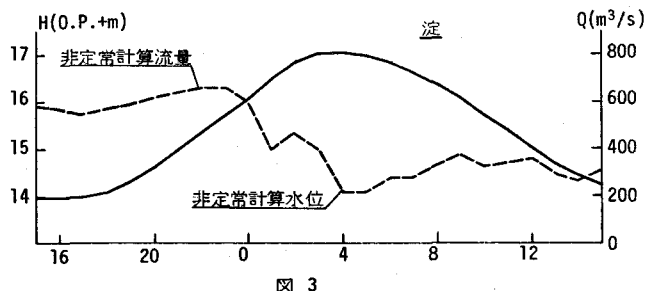


図 3

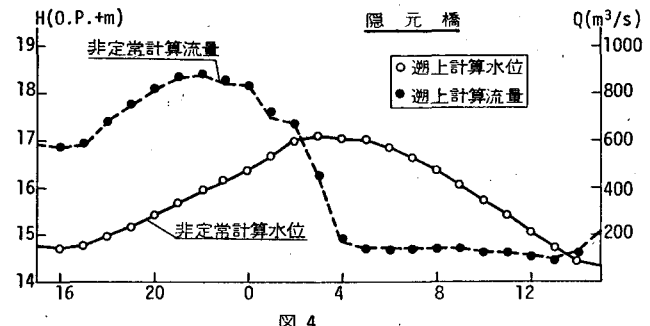


図 4

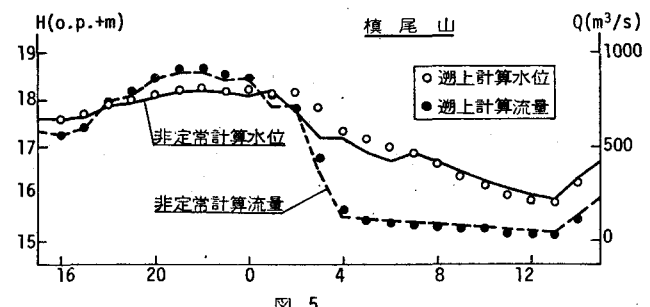


図 5